

ОСОБЕННОСТИ ЕМКОСТНОЙ СПЕКТРОСКОПИИ ГЛУБОКИХ ЦЕНТРОВ В ДИОДАХ ШОТТКИ

Андреевский В. Ф., Иванюкович В. А., Карась В. И.,
Ломако В. М.

На примере технологического и радиационного дефектов $EL2$ и $E5$ в арсениде галлия показано, что при использовании метода нестационарной емкостной спектроскопии глубоких уровней высота барьера Шоттки φ_B существенно влияет на определение величины энергии активации термоэмиссии электронов и концентрации глубоких центров. Показано, что истинные значения концентрации дефектов и положение их энергетического уровня E_f могут быть получены лишь при условии, что $\varphi_B > E_f$.

Нестационарная емкостная спектроскопия глубоких уровней (НЕСГУ) позволяет определять параметры, характеризующие рекомбинационные свойства дефектов: их концентрацию, энергетическое положение ловушки и сечение эмиссии носителей. Однако, несмотря на достаточно высокую точность метода, получаемые с его помощью разными авторами значения энергетического положения ловушек, расположенных вблизи середины запрещенной зоны, в частности ловушки $EL2$ в арсениде галлия, различаются довольно значительно, а разброс результатов превышает возможные ошибки измерений.

Известно, что технологический дефект $EL2$ присутствует в монокристаллах GaAs, а также в пленках, выращенных методом газофазной эпитаксии. По данным разных авторов, энергия активации эмиссии электронов с этого центра колеблется от 0.72 до 0.86 эВ, а его концентрация достигает значений $\sim 5 \times 10^{14} \text{ см}^{-3}$. Такой разброс в полученных значениях энергии активации, а также противоречивые результаты исследований зависимости концентрации центра от условий проведения газофазной эпитаксии дали основание ряду авторов утверждать, что под $EL2$ скрывается семейство дефектов, структура которых зависит от технологических условий роста материала [1-3].

Однако в дальнейшем было замечено, что для центра $EL2$ измеренные методом НЕСГУ значения концентрации и энергии активации эмиссии электронов зависят от высоты энергетического барьера на границе металл—полупроводник. Такой вывод был сделан после исследования барьеров Шоттки, изготовленных напылением Au и Al на специально обработанные в различных условиях поверхности GaAs [4, 5].

Чтобы убедиться в том, что концентрация дефектов $EL2$ и энергия активации эмиссии электронов в них не зависят от химической обработки поверхности GaAs, нами исследовались барьеры Шоттки, изготовленные в одинаковых условиях напылением Ti—Au на эпитаксиальные слои n -GaAs с концентрацией свободных электронов $2 \cdot 10^{15} \text{ см}^{-3}$. В одной из исследуемых партий образцов контактная разность потенциалов, определенная из емкостных измерений при 300 К, после термообработки при $T > 430$ К увеличивалась от 0.53 до 0.83 В, свидетельствуя об изменении высоты барьера Шоттки. Так как на результаты расчетов высоты барьера Шоттки из емкостных измерений влияют профиль распределения примесей и поле в области пространственного заряда (ОПЗ), то высота барьера Шоттки φ_B определялась из исследований температур-

ной зависимости плотности тока насыщения j_s . Вольт-амперные характеристики исследованных диодов Шоттки (рис. 1) описывались выражением

$$j = j_s (\exp(qU/mkT) - 1), \quad (1)$$

где

$$j_s = A^* T^2 \exp(-\varphi_B/kT). \quad (2)$$

Здесь A^* — постоянная Ричардсона. Показатель идеальности m находился в пределах от 1.00 до 1.04. Из зависимости $\ln(j_s T^{-2})$ от $1/T$ определялась высота барьера φ_B на границе раздела металл—полупроводник.

Установлено, что величина φ_B при термообработке увеличивалась от 0.66 до 0.85 эВ, т. е. действительное изменение высоты барьера было меньше, чем это следовало из емкостных измерений. При этом положение пика $EL2$ в спектре НЕСГУ смешалось по оси температур почти на 30 К, а его амплитуда возрастала более чем в 25 раз (рис. 2). По положению максимумов пиков, записанных при разных значениях скорости эмиссии, определены величины энергии активации термоэмиссии электронов с центра $EL2$ до и после проведения термических отжигов. Получены значения 0.67 и 0.82 эВ соответственно. На рис. 3 показаны графики

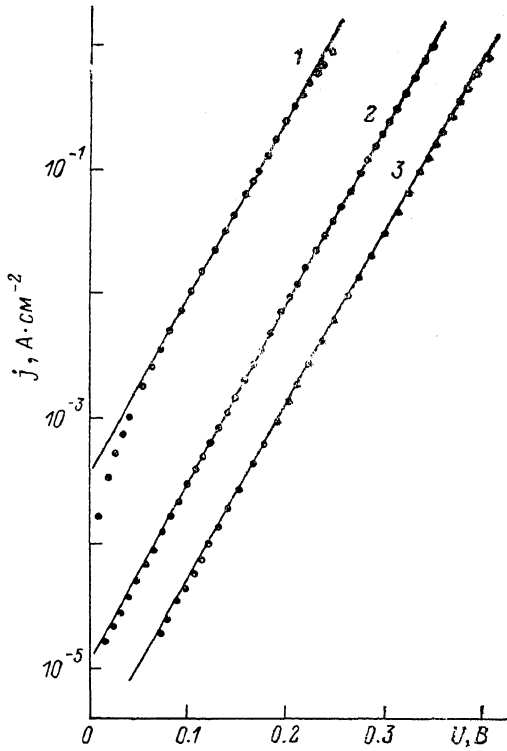


Рис. 1. Вольт-амперные характеристики диода Шоттки, полученные при высоте энергетического барьера 0.66 (1), 0.81 (2) и 0.85 эВ (3).

Измерения проведены при температуре 350 К.

Аррениуса для центра $EL2$, построенные по результатам измерений при разных высотах барьеров Шоттки. Наблюдение за изменением спектров НЕСГУ при проведении изотермических отжигов, в процессе которых увеличивалась высота барьера Шоттки, показало, что положение максимума пика $EL2$ и его амплитуда зависят от высоты энергетического барьера на границе металл—полупроводник и не всегда определяют скорость эмиссии электронов и концентрацию центров.

Чтобы выяснить, имеет ли подобный эффект место при измерении параметров иных центров, вносящих уровни вблизи середины запрещенной зоны, или является следствием специфических свойств $EL2$, были проведены измерения параметров радиационного центра $E5$, образованного при облучении исследуемых структур γ -квантами ^{60}Co . В процессе облучения высота барьера Шоттки увеличивалась, что обусловлено радиационно-активированным изменением свойств поверхности GaAs, так как отжиг контрольных образцов при температуре облучения (320 К), а также их нагрев до 420 К в процессе записи спектров не приводили к изменению высоты барьера. Доза облучения была выбрана такой, что амплитуда пика $E5$ значительно превышала амплитуду пика $EL2$. Поэтому определение энергии активации эмиссии электронов с центра $E5$ не представляло труда и она составила 0.75 эВ. Увеличение высоты барьера облученных структур после термообработки при $T > 430$ К приводило к значительному росту амплитуды пика $EL2$, который в итоге маскировал сигнал эмиссии с центра $E5$. Поэтому для выделения пика $E5$ сначала проводилась термическая стабилизация высоты барьера, а затем частичный отжиг

дефекта $E5$ при температуре 500 К. Вычитая спектры НЕСГУ, записанные на структурах с высотой барьера 0.85 эВ и содержащие пики $E5$ разных амплитуд, удалось определить положения максимумов этих пиков при разных скоростях эмиссии и рассчитать значение энергии активации эмиссии электронов с центра $E5$, которое составило 0.85 эВ. Графики Аррениуса для центра $E5$, полученные при высоте барьера 0.67 и 0.85 эВ, изображены на рис. 3.

Таким образом, различие приводимых в литературе значений энергии активации эмиссии электронов с центра $EL2$, полученных методом НЕСГУ, скорее всего не связано с технологическими условиями роста материала, а обусловлено различной высотой барьеров Шоттки, которая, как правило, в работах не приводится. Зависимость амплитуды пика от высоты барьера может быть

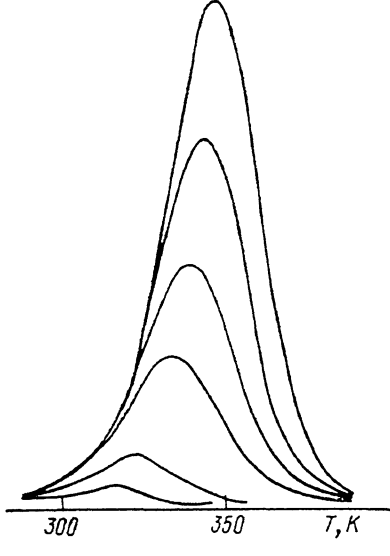


Рис. 2. Спектры НЕСГУ центра $EL2$, записанные на диоде Шоттки при разных значениях высоты барьера (от 0.66 до 0.85 эВ).

Скорость эмиссии 10.8 с^{-1} .

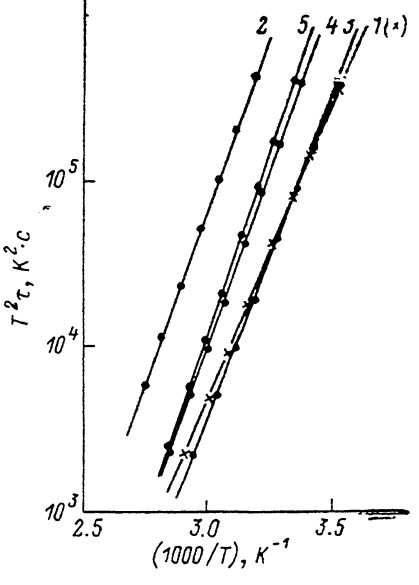


Рис. 3. Графики Аррениуса для центров $EL2$ (1, 2) и $E5$ (3-5), построенные по результатам измерений на диодах с разной высотой барьера Шоттки.

φ_B , эВ: 1 — 0.65; 2, 4 — 0.85; 3 — 0.75; 5 — данные получены на другой структуре ($E_a=0.88$ эВ) [4].

причиной противоречивых сведений о влиянии условий роста эпитаксиальных пленок на концентрацию центров $EL2$. По этой же причине могут различаться приводимые в литературе параметры и других центров, вносящих уровни вблизи середины запрещенной зоны, например радиационных центров $E4$, $E5$, $P2$ и $P3$ в арсениде галлия.

Зависимость измеренных методом НЕСГУ параметров центров от высоты энергетического барьера φ_B на границе металл—полупроводник может быть объяснена влиянием обратного тока насыщения барьера Шоттки [4]. Если в ОПЗ обратно смещенного барьера Шоттки концентрация электронов $n = -j_s/qv$, обусловленная обратным током насыщения $j_s = A * T^2 \exp(-\varphi_B/kT)$, сравнима с концентрацией электронов n_{1f} в зоне проводимости при совпадении уровня Ферми с уровнем E_f центра, то она влияет на степень заполнения электронами центра $f_t = n_t / N_t$. Здесь N_t — полная концентрация ловушек, n_t — концентрация захваченных ими электронов, v — скорость дрейфа. Если не учитывать скорости эмиссии и захвата дырок, то

$$\frac{\partial f_t}{\partial t} = -e_n f_t + \gamma_n n (1 - f_t) = -(e_n + \gamma_n n) f_t + \gamma_n n, \quad (3)$$

где e_n и $\gamma_n n$ — соответственно скорости эмиссии и захвата электронов для рассматриваемого центра. Решение этого уравнения имеет вид

$$f_t = \left(f_{t0} - \frac{\gamma_n n}{e_t} \right) \exp(-e_t t) + \frac{\gamma_n n}{e_t}, \quad (4)$$

где f_{t0} — функция заполнения центра к моменту начала релаксации. Из (4) следует, что при $n \geq n_{1t}$ наблюдаемая скорость релаксации локализованного на центре заряда e_t будет больше скорости эмиссии электронов e_n :

$$e_t = e_n + \gamma_n n = \gamma_n (n_{1t} + n) = \sigma_n v_n (n_{1t} + n), \quad (5)$$

где $v_n = (3 kT/m_n^*)^{1/2}$ — тепловая скорость электронов, а σ_n — сечение, характеризующее процессы эмиссии (захвата) электронов центром. Так как измерения в методе НЕСГУ проводятся при обратных смещениях, когда поле в ОПЗ обычно превышает 10^4 В/см, то дрейфовая скорость электронов в ОПЗ v будет близка к скорости насыщения v_s . Поэтому концентрация электронов n очень слабо зависит от координаты в значительной части ОПЗ и близка к концентрации n_s на границе барьера Шоттки:

$$n(x) \cong n_s = N_c \exp(-\varphi_B/kT). \quad (6)$$

Это означает, что квазиуровень Ферми для электронов в ОПЗ расположен практически параллельно уровню ловушки на участке от границы раздела металл—полупроводник до точки, где его значение совпадает со значением в нейтральной области.

Учитывая, что $n_{1t} = N_c \exp(-E_t/kT)$, для наблюдаемой скорости релаксации локализованного на центрах заряда электронов получим

$$e_t = \sigma_n v_n N_c [\exp(-E_t/kT) + \exp(-\varphi_B/kT)]. \quad (7)$$

Из этого выражения следует, что если $\varphi_B > E_t + 3kT$, то определяемое методом НЕСГУ значение скорости изменения заряда на центрах совпадает со скоростью эмиссии электронов, т. е. $e_t = e_n$, что позволяет получить значения энергии активации термоэмиссии E_t и сечения эмиссии основных носителей σ_n . Если же $\varphi_B < E_t$, то измеряемое значение энергии активации будет меньше E_t и при $\varphi_B < E_t - 3kT$ стремится к величине φ_B , а амплитуда соответствующего пика в спектре НЕСГУ уменьшается вплоть до полного исчезновения. При этом, как следует из (7), измеренное сечение эмиссии будет также совпадать с истинным, а максимальное отклонение измеренного значения сечения эмиссии σ^* от истинного достигается при $\varphi_B = E_t$, при этом $\sigma^* = 2\sigma_n$. Эти выводы подтверждаются и экспериментально. Так, на исходных структурах при $\varphi_B = 0.66$ эВ измеренное значение энергии активации эмиссии с центра $EL2$ равно 0.67 эВ, т. е. высоте барьера Шоттки, а полученные при разных высотах барьеров Шоттки значения сечений эмиссии электронов составляли для центров $EL2$ от $1 \cdot 10^{-14}$ до $2.5 \cdot 10^{-14}$ см 2 и для центров $E5$ от $4 \cdot 10^{-12}$ до $6.7 \cdot 10^{-12}$ см 2 , несмотря на то что амплитуда пика $EL2$ возрастила в 25 раз при увеличении φ_B от 0.66 до 0.85 эВ.

Поскольку при увеличении высоты барьера в исследуемых структурах от 0.82 до 0.85 эВ энергия активации термоэмиссии электронов с центра $EL2$ не менялась, следовательно, полученные методом НЕСГУ при таких значениях φ_B параметры центра близки к истинным. В то же время анализ экспериментальных результатов показал, что для определения параметров центра $E5$ такой высоты барьера Шоттки недостаточно, так как при $\varphi_B = 0.85$ эВ получено такое же значение энергии активации термоэмиссии. Это указывает на то, что $E_t \geq \varphi_B$. Полученное ранее на других структурах [6] значение энергии активации эмиссии с $E5$, равное 0.88 эВ (рис. 3), подтверждает, что энергетический уровень этой ловушки действительно расположен глубже.

Таким образом, проведенные исследования показали, что при определении параметров глубоких ловушек в диодах Шоттки методом НЕСГУ необходимо контролировать высоту энергетического барьера на границе металл—полупроводник. Истинные значения концентрации дефектов и положение их энергетического уровня могут быть получены лишь при $\varphi_B > E_t$. Этим можно объяснить различия в приводимых значениях энергий активации эмиссии электронов с центрами $EL2$, $E5$ и, возможно, $E4$, $P2$ и $P3$ в арсениде галлия.

Список литературы

- [1] Лаврентьева Л. Г., Виллсова М. Д. // Изв. вузов СССР. Физика. 1986. № 5. С. 3—13.
- [2] Yahata A., Sato T., Kikuta T., Ishida K. // Mat. Res. Soc. Symp. Proc. 1985. V. 46. P. 179—184.
- [3] Catos H. C., Lagowski J. // Mat. Res. Soc. Symp. Proc. 1985. V. 46. P. 153—167.
- [4] Hasegawa F., Onomura M., Mogi C., Nannichi Y. // Sol. St. Electron. 1988. V. 31. N 2. P. 223—228.
- [5] Ma Q. Y., Sohmidt M. T., Wu X., Evans H. L., Yang E. S. // Appl. Phys. 1988. V. 64. N 5. P. 2469—2472.
- [6] Иванюкович В. А., Карась В. И., Ломако В. М. // ФТП. 1990. Т. 24. В. 8. С. 1427—1430.

Научно-исследовательский институт
прикладных физических проблем
им. А. Н. Севченко
при БГУ им. В. И. Ленина
Минск

Получена 27.06.1990
Принята к печати 27.09.1990
